

4. Прогнозирование работоспособности металлорежущего инструмента / Л. Н. Девин. – К. : Наук. думка, 1992. – 131 с.
5. Стахнив Н. Е., Сулима А. Г. Закономерности изменения силы резания при врезании и выходе инструмента из заготовки при точении силуминов резцами с круглыми АТП // Сверхтвердые матер. – 2010. – № 5. – С. 88–99.
6. Стахнив Н. Е., Девин Л. Н., Исследование влияния износа резца, оснащенного пластиной из композита на основе КНБ на его вибрации при чистовом точении // Сверхтвердые матер. – 2012. – № 3. – С. 62–69.
7. Прогнозирование виброустойчивости инструмента при точении и фрезеровании / С. А. Васин. – М. : Машиностроение, 2006. – 384 с.
8. Повышение надежности резцов путем демпфирования режущих пластин из поликристаллов КНБ / Л. М. Девин, О. А. Осадчий, А. Г. Сулима // Новітні технології в машинобудуванні: металообробка, інструмент, реновація: зб. Наук. праць / редкол. С. С. Самотугін та ін. – Маріуполь : ПДТУ, 2010. – Вип. 2. – С. 25–37.
9. Девин Л. Н., Осадчий А. А. Повышение эксплуатационных характеристик резцов из КНБ путем увеличения их демпфирующих свойств / Сверхтвердые матер. – 2012. – № 5. – С. 62–71.

Поступила 09.06.15

УДК 621.762.922.02

В. И. Лавриненко, д-р. техн. наук; **Г. Д. Ильницкая**, **О. О. Пасечный**, **В. В. Смоквина**, **А. А. Девицкий**, **В. В. Шатохин**, **Л. А. Романко**, кандидаты технических наук; **И. Н. Зайцева**, **В. В. Тимошенко**, **В.И. Мельник**¹; **Е. В. Ищенко**, д-р. хим. наук, **С. В. Гайдай**, канд. хим. наук²

¹Институт сверхтвердых материалов им. В.Н. Бакуля НАН Украины, г. Киев Украина

²Киевский национальный университет им. Тараса Шевченко, г. Киев, Украина

ВЛИЯНИЕ ФИЗИКО-ХИМИЧЕСКИХ ХАРАКТЕРИСТИК КОМПОЗИЦИОННОГО ИНСТРУМЕНТАЛЬНОГО МАТЕРИАЛА НА ИЗНОСОСТОЙКОСТЬ ШЛИФОВАЛЬНОГО ИНСТРУМЕНТА

Приведены результаты термодесорбционных исследований алмазов марки АС6 зернистостью 125/100 металлизированных покрытий Ni и композиционных покрытий на основе Ni–Al. Установлено, что создание на поверхности алмазов марки АС6 зернистостью 125/100 металлизированных покрытий Ni и композиционных покрытий на основе Ni–Al способствует увеличению их удельной площади поверхности, повышает стойкость к окислению и электропроводность, что приводит к снижению удельного расхода алмазов и повышению износостойкости шлифовального инструмента.

Ключевые слова: термодесорбционные исследования, удельный расход алмазов, электропроводность, износостойкость, шлифовальный инструмент

Введение

В машиностроении широко применяют шлифовальный алмазный инструмент для обработки труднообрабатываемых инструментальных материалов. Одним из путей повышения износостойкости алмазно-абразивного инструмента и увеличения алмазоудержания является металлизация алмазов различными покрытиями [1–3]. В процессе алмазного шлифования могут возникать электрические явления, которые могут дать дополнительную информацию об износе алмазного круга, так как напрямую связаны с эксплуатационными показателями обработки [4; 5].

Развитие инструментального производства, необходимость в обработке новых труднообрабатываемых материалов, поиск путей энергосбережения диктуют необходимость получения композиционных покрытий с новыми свойствами, позволяющими внести в зону контакта

необходимые функциональные материалы, например, твердые смазки или СОТС [6] либо позволяют укрепить контакт «зерно – связка» в шлифовальном инструменте.

Цель настоящей работы – исследовать влияние физико-химических характеристик инструментального материала на износостойкость шлифовального инструмента.

Методика исследований

Исследовали исходные алмазы марки АС6 зернистостью 125/100, металлизированные методом химического восстановления Ni (25 мас.%) и затем покрытые методом обкатки в присутствии специального связующего тонкодисперсным порошком алюминия марки АСД крупностью –40 мкм. Степень металлизации алмазов с композиционным покрытием составляла 70–75 мас.%.

физико-химические характеристики исследовали с помощью масс-спектрометра МИ 1201 при температуре 20–1000 °С в воздушной среде [7]. Для получения информации о состоянии поверхности порошков алмазов исходных (образец 1), покрытых никелем (образец 2), а затем алюминием (образец 3) снимали термодесорбционные спектры. С этой целью исследуемые образцы переносили в кварцевую кювету, вакуумировали и снимали масс-спектры до температуры 800 °С, скорость нагрева составляла 10 °С/мин.

Электрофизические характеристики образцов, в частности удельное электросопротивление, измеряли по разработанной в ИСМ НАН Украины методике [8].

Износостойкость экспериментальных шлифовальных кругов определяли по удельному расходу алмазов q_p [9].

Результаты исследования и их обсуждение

Для получения информации о состоянии поверхности исследуемых порошков сняли термодесорбционные спектры.

Принцип метода термодесорбции заключается в адсорбции реагентов на поверхности образца при заданных условиях: удалении молекул исходных веществ из газовой фазы (вакуумирование образца до 10^{-4} Па при комнатной температуре); последующем нагревании образца с постоянной скоростью с одновременным анализом выделяемых продуктов. С помощью масс-спектрометра МИ 1201 анализировали пары воды, газы, десорбированные с поверхности образцы (диоксид углерода, монооксид углерода, молекулярный кислород). Непрерывная регистрация фиксированных масс в памяти ЭВМ позволяет строить термодесорбционные кривые для каждого вещества отдельно. Построили зависимости интенсивности термодесорбционных спектров от температуры для всех изученных образцов (рис. 1–4).

Термодесорбционные кривые диоксида углерода на поверхности исходных 1 алмазов марки АС6 зернистостью 125/100, металлизированных никелем 2 и покрытых алюминием 3 показаны на рис. 1.

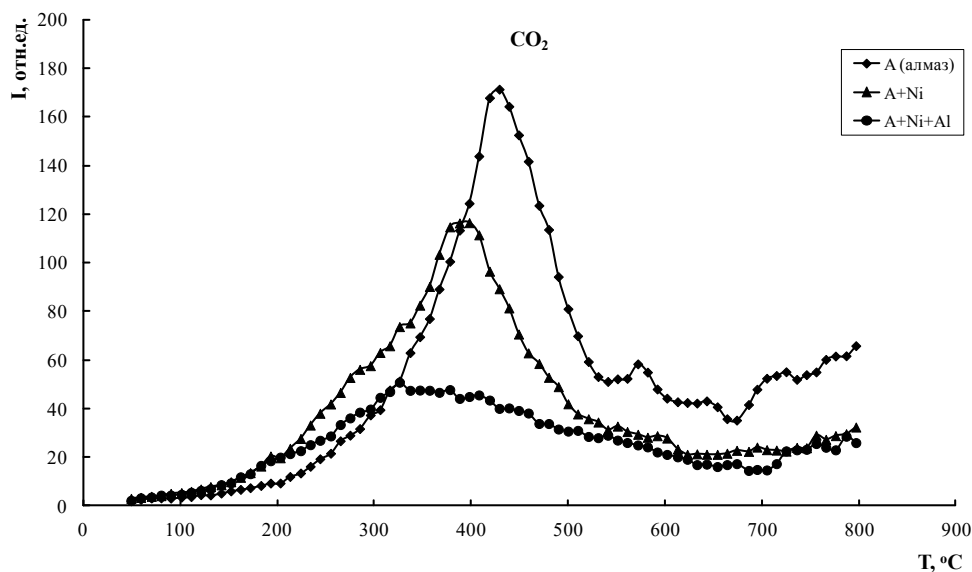


Рис. 1. Термодесорбционные кривые диоксида углерода CO_2 на поверхности алмазов марки АС6 зернистости 125/100: 1 – исходных; 2 – метал-лизированных никелем; 3 – покрытых алюминием

Термодесорбционные кривые монооксида углерода на поверхности исходных 1 алмазов марки АС6 зернистостью 125/100, металлизированных никелем 2 и покрытых алюминием 3 показаны на рис. 2.

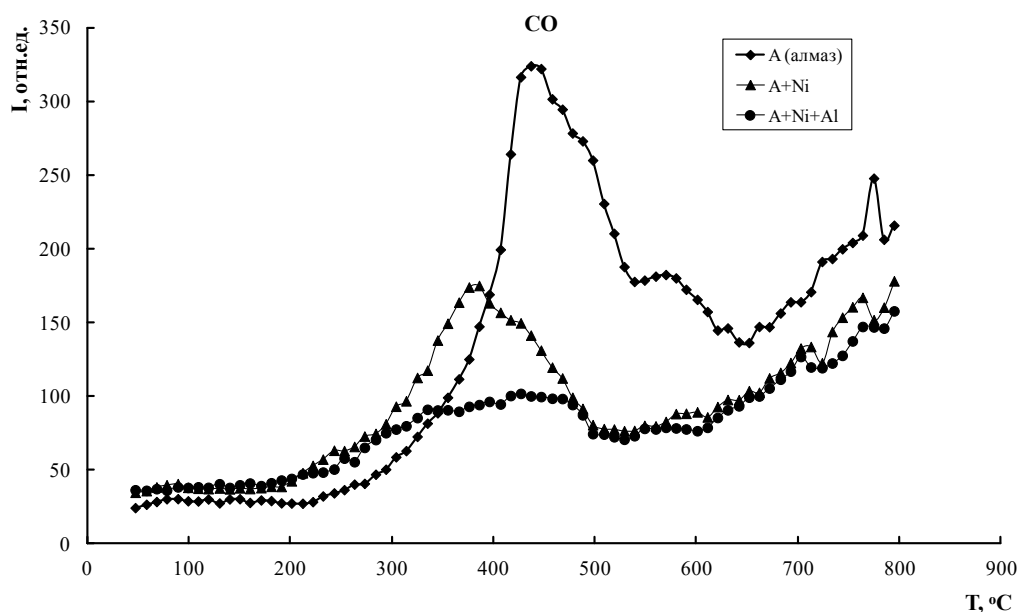


Рис. 2. Термодесорбционные кривые монооксида углерода CO на поверхности алмазов марки АС6 зернистостью 125/100: 1 – исходных; 2 – металлизированных никелем; 3 – покрытых алюминием

Как следует из данных рис. 1 и 2, диоксид и монооксид углерода начинают выделяться при температуре с 200 и 300 °С, максимальное выделение происходит при температуре соответственно 370 и 430 °С. При этом нанесение на поверхность исходных порошков алмазов марки АС6 зернистостью 125/100 металлизированных покрытий никеля и алюминия позволяют повысить окислительную стойкость алмазов.

Термодесорбционные кривые паров воды на поверхности исходных 1, алмазов марки АС6 зернистостью 125/100, металлизированных никелем 2 и покрытых алюминием 3 показаны на рис. 3.

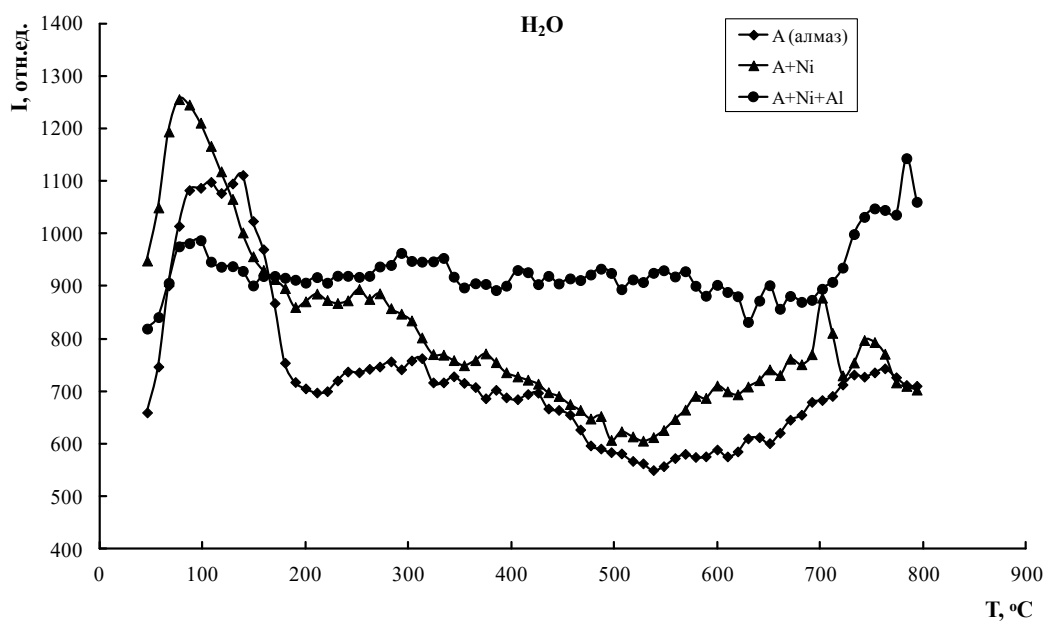


Рис. 3. Термодесорбционные кривые паров воды на поверхности алмазов марки АС6 зернистостью 125/100: 1 – исходных; 2 – металлизированных никелем; 3 – покрытых алюминием

Из данных на рис. 3 следует, что вода выделяется постоянно на протяжении всего периода нагревания. Пики на кривых до температуры 200 °С свидетельствуют о наличии воды на поверхности всех образцов, после чего начинает активно выделяться вода, содержащаяся в пористой структуре образцов. Содержание воды в порошках алмаза тесно связано с их удельной площадью поверхности. Кривая 1 на рис. 3 (для исходного образца) указывает на наименьшее содержание воды в образце и меньшую удельную площадь поверхности порошков алмаза. Покрытие порошков алмаза сначала никелем (кривая 2, на рис. 3), а затем алюминием (кривая 3, на рис. 3) способствуют увеличению их площади поверхности. Создание на поверхности образца 3 композиционного покрытия Ni–Al приводит к образованию развитой поверхности, о чем свидетельствует наибольшее содержание воды (кривая 3).

Термодесорбционные кривые молекулярного кислорода на поверхности исходных 1 алмазов марки АС6 зернистостью 125/100, металлизированных никелем 2 и покрытых алюминием 3 показаны на рис. 4.

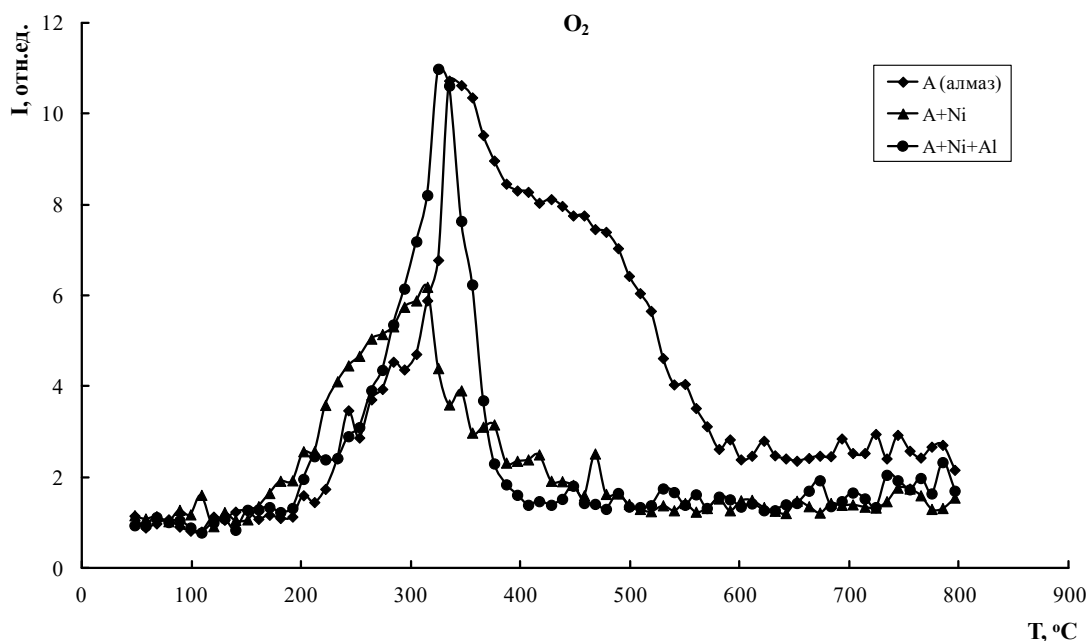


Рис. 4. Термодесорбционные кривые молекулярного кислорода на поверхности алмазов марки АС6 зернистостью 125/100: 1 – исходных; 2 – метал-лизированных никелем; 3 – покрытых алюминием

Согласно данным рис. 4 выделение молекулярного кислорода в образцах незначительное по сравнению с парами воды. При этом создание на поверхности образцов металлизированных покрытий (кривые 2 и 3, на рис. 4.) повышают стойкость к окислению порошков алмаза и выделение молекулярного кислорода снижается.

Таким образом, как показали результаты термодесорбционных исследований при создании на поверхности алмазов марки АС6 зернистостью 125/100 металлизированных покрытий никелем и композиционных покрытий на основе Ni–Al увеличивается их удельная площадь поверхности и повышается стойкость к окислению.

Электрофизические характеристики образцов порошков алмаза (1, 2 и 3) оценивали по изменению их удельного электросопротивления ρ . Так, если для исходного порошка алмаза $\rho = 5,47 \cdot 10^{10}$ Ом·м), то после металлизации порошков алмаза электропроводным металлом Ni материал (образец 2), естественно, становится электропроводным с $\rho = 1 \cdot 10^{-5}$ Ом·м. Алмазы, металлизированные композиционными покрытиями (Ni–Al), имеют удельное электросопротивление на порядок выше. В ходе экспериментов установили, что если удельное электросопротивление металлизированных алмазов низкое то электропроводность процесса выше, что при электроэрозионном шлифовании должно положительно влиять на износостойкость инструмента.

Для оценки износостойкости инструмента с использованием исследуемых образцов (1, 2 и 3) изготовили серию шлифовальных кругов формы 12А2-45° на полимерной связке В2-08. Твердый

сплав ВК6 шлифовали без охлаждения при производительности обработки $Q = 300 \text{ мм}^3/\text{мин}$ и $Q = 400 \text{ мм}^3/\text{мин}$. Результаты испытаний приведены в таблице.

Результаты алмазной обработки (без охлаждения) твердого сплава ВК8 шлифовальными кругами, оснащенными алмазами марки АС6 зернистостью 125/100 с металлизированными покрытиями

№ п/п	Шлифовальный инструмент	R_a , мкм	E , кВ/м	q_p , мг/г
$Q = 300 \text{ мм}^3/\text{мин}$				
1.	АС6 125x5x3x32 125/100–В2-08–100	0,34	-0,5	9,98
2.	АС6 125x5x3x32 125/100 (Ni)–В2-08–100	0,36	-0,9	8,48
3.	АС6 125x5x3x32 125/100 (Ni-Al)–В2-08–100	0,40	-0,4	5,69
$Q = 400 \text{ мм}^3/\text{мин}$				
1.	АС6 125x5x3x32 125/100–В2-08–100	0,47	-1,6	18,27
2.	АС6 125x5x3x32 125/100 (Ni)–В2-08–100	0,42	-1,7	14,85
3.	АС6 125x5x3x32 125/100 (Ni-Al)–В2-08–100	0,53	-1,4	10,04

Как следует из данных таблицы, удельный расход алмазов марки АС6 зернистостью 125/100 при шлифовании без охлаждения алмазами, металлизированными Ni и с композиционными покрытиями на основе Ni–Al, ниже, чем при шлифовании порошками алмазов без покрытий (исходными). Использование в шлифовальных кругах алмазов, металлизированных Ni, способствует снижению удельного расхода алмазов и повышению износостойкости до 15% при производительности обработки $Q = 300 \text{ мм}^3/\text{мин}$ и до 20% при $Q = 400 \text{ мм}^3/\text{мин}$. Оснащение шлифовального инструмента алмазами с композиционными покрытиями на основе Ni–Al приводит к повышению износостойкости на 30% при производительности обработки $Q = 300 \text{ мм}^3/\text{мин}$ и на 45 % при $Q = 400 \text{ мм}^3/\text{мин}$ по сравнению с применением алмазов без металлизированного покрытия. В этой связи согласно результатам исследований применение покрытий металлами рабочих зерен целесообразно при высокой производительности обработки.

Как показали результаты исследований (см. таблицу), применение кругов с металлизированным покрытием алмазных зерен позволяет получить более качественную обработанную поверхность детали.

Для установления особенностей контактных процессов в зоне шлифования измерителем параметров электростатического поля ИПЭП-1 дополнительно определяли напряженность электростатического поля шлама. При более высокой производительности обработки процессы, связанные с электризацией в зоне шлифования, протекают интенсивнее, о чем свидетельствует высокая напряженность электрического поля. Эти значения следует также применять в качестве критерия, по которому можно оценивать износ алмазных кругов, поскольку высшей напряженности электростатического поля соответствует больший относительный расход зерен СТМ [10]. Это подтверждено предыдущими исследованиями, где обращено внимание на то, что при обработке кругами на полимерном связующем электризация, возникающая в зоне шлифования, негативно влияет на износостойкость алмазно-абразивного инструмента [11]. Результаты исследований свидетельствуют о том, что при покрытии зерен СТМ изменяется характер контакта инструмента с обрабатываемой деталью, а следовательно, процессы, связанные с электризацией. Выбор оптимального покрытия алмазных зерен позволит уменьшить износ шлифовальных кругов, что очень важно при реализации процессов, предусматривающих обработку при высокой производительности.

Таким образом, металлизация алмазов марки АС6 зернистостью 125/100 никелем, а также покрытие зерен алмаза композиционным материалом на основе Ni–Al способствуют получению зерен алмаза с более развитой поверхностью и более стойких к окислению по сравнению с исходными порошками алмаза. При этом покрытие зерен алмаза на основе Ni и Ni–Al усиливает их электропроводные свойства и способствуют снижению удельного расхода алмазов при алмазной обработке труднообрабатываемых инструментальных материалов, что приводит к повышению износостойкости шлифовального инструмента.

Выводы

1. На основании термодесорбционных исследований установлено, что с созданием на поверхности алмазов марки АС6 зернистостью 125/100 металлизированных покрытий Ni и композиционных покрытий на основе Ni–Al увеличивается их удельная площадь поверхности и повышается стойкость к окислению.

2. Показано, что металлизированные покрытия Ni и композиционные покрытия на основе Ni–Al повышают электропроводность порошков алмаза марки АС6 зернистостью 125/100 более чем в 10 порядков по сравнению с исходными порошками.

3. Установлено, что удельный расход алмазов марки АС6 зернистостью 125/100 при алмазной обработке алмазами, металлизированными Ni и с композиционными покрытиями на основе Ni–Al, ниже по сравнению с этим показателем порошков алмазов без покрытий (исходных). Использование в шлифовальных кругах алмазов, металлизированных Ni, способствует снижению удельного расхода алмазов и повышению износостойкости до 15% при производительности обработки $Q = 300 \text{ мм}^3/\text{мин}$ и до 20% при $Q = 400 \text{ мм}^3/\text{мин}$. Оснащение шлифовального инструмента алмазами с композиционными покрытиями на основе Ni–Al приводят к повышению износостойкости на 30% при производительности обработки $Q = 300 \text{ мм}^3/\text{мин}$ и на 45 % при $Q = 400 \text{ мм}^3/\text{мин}$ по сравнению с неметаллизированными алмазами.

Наведено результати термодесорбційних досліджень алмазів марки АС6 зернистістю 125/100 металізованих покриттів Ni і композиційних покриттів на основі Ni–Al. Встановлено, що створення на поверхні алмазів марки АС6 зернистістю 125/100 металізованих покриттів Ni і композиційних покриттів на основі Ni–Al сприяє збільшенню їх питомої площі поверхні, підвищує стійкість до окислення і електропровідність, що зумовлює зниження питомої витрати алмазів та підвищення зносостійкості шліфувального інструменту.

Ключові слова: термодесорбційні дослідження, електропровідність, питомі витрати алмазів, зносостійкість, шліфувальний інструмент.

Results thermodesorption researches of diamonds of mark AC6 of granularity of 125/100 metalized coverings Ni and composite coverings on basis Ni–Al are resulted. Creation is established on surfaces of diamonds of mark AC6 of granularity of 125/100 metalized coverings Ni and composite coverings on basis Ni–Al, that, increase their specific area of a surface, raise stability oxidation and electroconductivity, that results reduction of the specific charge of diamonds and increase in wear resistance of the grinding tool.

Key words: thermodesorption researches, electroconductivity, the specific charge of diamonds, wear resistance, the grinding tool.

Литература

1. Дуда Т. М. Взаимодействие на границах контакта алмаз-покрытие-связка / Т.М. Дуда // Сверхтвердые материалы. – 1986. – № 5. – С. 30–33.
2. Дуда Т. М. Эффективные покрытия для порошков алмаза и КНБ, их структурные особенности и области промышленного применения / Т.М. Дуда // Синтез, спекание и свойства сверхтвердых материалов. – К.: ИСМ им.В.Н. Бакуля НАН Украины, 2005. – С. 86–95.
3. Дуда Т. М. Некоторые особенности получения и физико-механические свойства алмазных порошков, металлизированных композиционными химическими покрытиями с включением УДА / Т.М. Дуда, Ю.И. Никитин, В.Г. Полторацкий и др. // Сверхтвердые материалы. – 2000. – № 5. – С. 88–94.
4. Лавріненко В. І. Дослідження зміни напруженості електростатичного поля при шліфуванні / В.І. Лавріненко, Б.В. Ситник, О.А. Девицький // Високі технології в машинобудуванні: зб. наук. Пр. НТУ «ХП». – Х.: 2008. – С. 215–220.
5. Лавріненко В. І. Електричні явища в процесах механічної обробки, їх взаємозв'язок із продуктивністю та енергоємністю оброблювання та способи ефективного застосування цих явищ / В.І. Лавріненко, О.А. Девицький, Б.В. Ситник // Прогресивні технології і системи машинобудування : Міжнар. зб. наук. пр. – Донецьк : ДонНТУ, 2009. – Вип. 38. – С. 122–126.
6. Пат. на корисну мод. № 34193, Україна, МПК (2006) С10М 159/00. Тверде мастило для алмазно-абразивної обробки інструментальних матеріалів / А.М. Бровченко, В.І. Лавріненко, В.В. Смоквина, І.П. Пономаренко, В.Г. Волошина / – Заявл. 14.04.08; Опубл. 25.07.08, Бюл. № 14.

7. Богатырева Г. П. Взаимодействие порошков синтетического алмаза с жидкими и газовыми средами / Г.П. Богатырева, М.А. Маринич, Г.А. Базалий и др. // Сверхтвердые материалы. Получение и применение. Т. 2. Структура и свойства СТМ, методы исследования : монография в 6 т. / под общ. ред. Н.В. Новикова; Отв. ред. В.М. Перевертайло. – К.: ИСМ им. В. Н. Бакуля, ИПЦ «АЛКОН» НАНУ, 2004. – С. 97–125.
8. М 23.9-303:2014. Методика определения удельного электрического сопротивления дисперсных порошков сверхтвердых материалов. – К.: ИСМ им. В. Н. Бакуля, 2014. – 6 с.
9. Бакуль В. Н. Справочник по алмазной обработке металлорежущего инструмента – под общ. ред. В.Н. Бакуля – К.: «Техніка», 1971. – 208 с.
10. Пат. на корисну мод. № 83782 Україна, МПК (2013.01) B23B 25/00. Спосіб оцінювання зносостійкості шліфувального інструмента з надтвердих матеріалів із введенням функціональних домішок у робочий шар інструмента / В.І. Лавріненко, О.А. Девицький, Б.В. Ситник, С.А. Кухаренко. – Заявл. 19.04.13; Опубл. 25.09.13, Бюл. № 18.
11. Выбор характеристик рабочего слоя абразивного инструмента из сверхтвердых материалов с учетом электрических явлений, сопровождающих процесс шлифования / В.И. Лавриненко, А.А. Девицкий, О.О. Пасичный, и др. // Инструмент. світ. – 2013. – № 3-4 (59–60). – С. 17–22.

Поступила 10.06.2015

УДК 539.216:621.762

В. В. Ивженко, О. Н. Кайдаш, Н. М. Прокопий, П. П. Иценко, кандидаты технических наук,
Г. Ф. Сарнавская

Институт сверхтвердых материалов им. В.Н. Бакуля НАН Украины, г. Киев

КИНЕТИЧЕСКИЕ ЗАКОНОМЕРНОСТИ ГОРЯЧЕГО ПРЕССОВАНИЯ СМС-КОМПОЗИТОВ $V_4C-15(VC-TiH_2)$

Установлены кинетические закономерности одноосного горячего прессования СМС-композиатов $V_4C-15(VC-TiH_2)$. Показано, что добавки TiH_2 и VC активируют уплотнение V_4C и улучшают спекание. Изучены особенности образования структуры и ее влияние на физико-механические свойства материала.

Ключевые слова: карбид бора, V_4C , TiH_2 , VC , горячее прессование.

Среди тугоплавких соединений карбид бора выделяется высокой твердостью, износостойкостью, химической инертностью, низким удельным весом, высоким модулем упругости [1; 2]. В этой связи применение керамики на основе карбида бора в качестве термо-, износо-, химически стойких ответственных конструкционных элементов, узлов машин, уплотнительных колец, броневых систем вызывает повышенный интерес. Более широкое использование V_4C -керамики напрямую зависит от ее прочности и трещиностойкости – характеристик, определяемых качеством полученного материала. Предпочтительной технологией получения плотных материалов является горячее или горячее изостатическое прессование. Однако для уплотнения материалов при температуре 1900–2200 °С требуется введение в них легирующих (активирующих) добавок. Механизм активации уплотнения карбида бора добавками заключается либо в образовании жидкой фазы, либо в протекании химических реакций на поверхности частиц карбида бора, ускоряющих поверхностную диффузию. Эффективными добавками могут быть дибориды переходных металлов [3], присутствие которых улучшает спекание, замедляет рост зерен, повышает прочность и трещиностойкость спеченных композиций. Особенности взаимодействия V_4C с бориды переходных металлов IV–VI групп Периодической системы и диаграммы состояния квазибинарных систем изучены С. С. Орданьяном [4]. Общее для этих систем в том, что они описываются эвтектическими диаграммами состояния. Процесс горячего прессования материалов на основе